



تعیین مدل کانه‌زایی مگنتیت- اسپکیولاریت در کانسار آهن ده‌زمان، استان خراسان رضوی: کاریشناسی، ساخت و بافت و دگرسانی

حسین حاجی‌میرزاچان، آزاده ملک‌زاده شفارودی^{*}، سید مسعود همام، محمدرضا حیدریان شهری

گروه زمین‌شناسی، دانشگاه فردوسی مشهد، ایران

(دریافت مقاله: ۹۵/۷/۱۴، نسخه نهایی: ۹۵/۹/۲۸)

چکیده: کانسار آهن ده‌زمان در جنوب غربی بردسکن، استان خراسان رضوی، و در شمال شرقی کمربند زمین‌ساختی کاشمر- کرمان قرار دارد. زمین‌شناسی منطقه مورد بررسی شامل واحدهای رسوبی- آتشفسانی دگرگون شده شامل اسلیت- فیلیت، سرسیت شیست، سنگ‌های کربناته باز تبلور یافته، متاریولیت- متاریوداسیت و تودهای نفوذی گرانیتی به سن پیشین زیستی نون- کامبرین است. کانه‌زایی به شکل‌های رگه‌ای- رگچه‌ای، تودهای، برشی و افشار در واحد متاریولیت- متاریوداسیت تشکیل شده است. مگنتیت و اسپکیولاریت (با Ti و V پایین) با ریزبلورهایی از آپاتیت همراه با باطله‌های کلریت، کلسیت و کوارتز مهمترین کانی‌های کانسار هستند. مقادیر جزیی کالکوپیریت نیز وجود دارد. هماتیت و ملاکیت مهمترین کانی‌های ثانویه هستند. مهمترین دگرسانی‌های منطقه عبارتند از: کلریتی شدن، کربناتی شدن، سیلیسی شدن، پتاسی و تورمالینی شدن. موقعیت زمین‌ساختی، سنگ میزان، کاریشناسی، دگرسانی و ساخت و بافت این بخش از کانسار ده‌زمان شباهت زیادی با ذخایر آهن نوع کایرونا دارد.

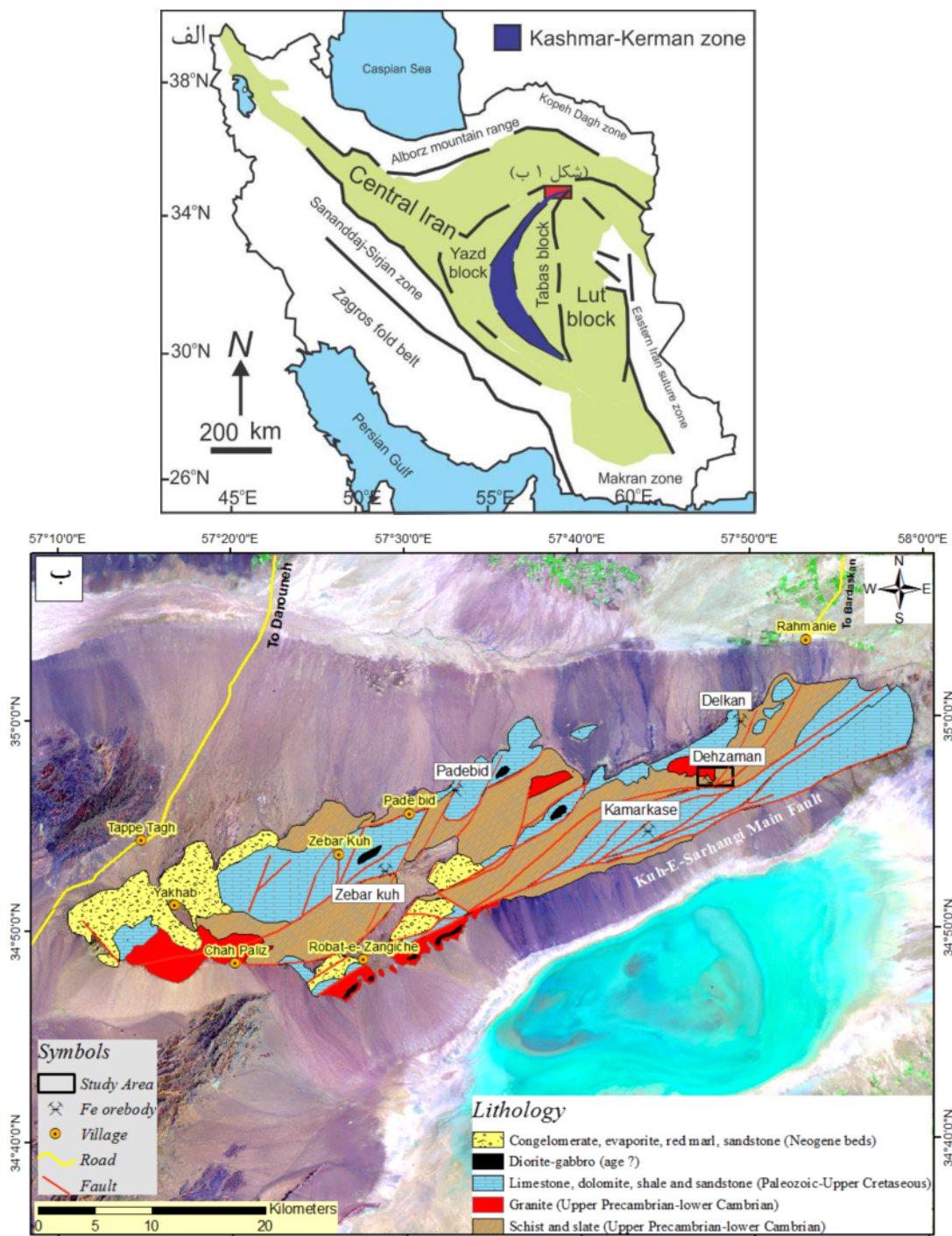
واژه‌های کلیدی: کاریشناسی؛ دگرسانی؛ آهن نوع کایرونا؛ ده زمان؛ کمربند کاشمر- کرمان.

در قسمت شمال دارای خمیدگی در راستای شمال شرق بوده و در جنوب به سمت جنوب شرق میل دارد [۳]. وجود تعداد زیادی شاخص و معدن آهن در این کمربند مانند چغارت، چادرملو، میشدان، سه چاهون، ناریگان، رباط پشت‌بادام، جلال‌آباد، لکه‌سیاه، ناهنجاری شمالی و اسفوردی نشان‌دهنده پتانسیل بالای این کمربند برای کاری‌سازی آهن است [۴-۶]. کانسار آهن ده‌زمان در ۴۰ کیلومتری جنوب غربی بردسکن در استان خراسان رضوی و در شرق منطقه‌ای به نام کوه سرهنگی [۱۴] واقع شده است. کوه سرهنگی به طول ۷۵ کیلومتر و عرض ۱۰ تا ۲۰ کیلومتر به صورت یک گوه کشیده جزء ارتفاعات ایران مرکزی بوده و گوشه شمال شرقی کمربند کاشمر- کرمان را شامل می‌شود (شکل ۱). این محدوده شامل

مقدمه مهمترین مناطق کاری‌سازی اکسیدهای آهن در ایران شامل بلوک پشت بادام در خرد قاره ایران مرکزی، منطقه هرمز در رشته کوه‌های زاگرس، ذخایر گل‌گهر و همه‌کسی در کمربند ماجمایی سندنج- سیرجان و سنگان در شرق ایران است [۱]. از دیدگاه فلز‌زایی، منطقه ایران مرکزی مهمترین ایالت فلز‌زایی آهن در ایران محسوب می‌شود [۲]. از نظر ساختاری کانسار آهن ده‌زمان، در قسمت شمال شرق کمربند زمین‌ساختی کاشمر- کرمان [۳] یا همان منطقه پشت بادام در خرد قاره ایران مرکزی قرار دارد. کمربند کمانی و ساختاری کاشمر- کرمان با طول حدود ۶۰۰ کیلومتر با مرزهای گسله، جدا کننده بلوک یزد و طبس است. این کمربند با امتداد شمالی- جنوبی،

(با سن‌های متفاوت) است که از آن جمله می‌توان به آهن ده‌زمان، دلکن، کمرکاسه، زبرکوه، پده بید و چندین منطقه دیگر اشاره کرد (شکل ۱).

سنگ‌های آذرین، دگرگونی و رسوبی است که طی مراحل مختلف کوهزایی به شدت دستخوش دگریختی شده‌اند و با آرایش نواری به شکل دو تایی‌های راستالغز مشاهده می‌شوند [۱۵]. کوه سرهنگی میزبان تعداد زیادی انواع کانی‌سازی آهن



شکل ۱ (الف) موقعیت کمربند کاشمر- کرمان در منطقه ایران مرکزی [۲]. منطقه کوه سرهنگی با کادر قرمز رنگ در شمال شرقی آن نشان داده شده است. (ب) نقشه زمین‌شناسی ساده شده کوه سرهنگی (با تغییرات برگرفته از [۱۴]) همراه با موقعیت کانسار آهن ده‌زمان.

شده‌اند و مارن و آهک کرتاسه نیز به شدت دگریخت شده است. این وقایع نشان‌هندۀ رخداد کوه‌زایی لارامین (کرتاسه پسین- پالئوسن) است. نبود واحدهای سنگی تربیاں تا ژوراسیک پیشین حاکی از عملکرد کوه‌زایی سیمیرین آغازین و نبود رسوبات دیرینه‌زا نشان‌هندۀ فعالیت فاز کوه‌زایی لارامین در منطقه کوه سرهنگی است [۱۵]. توده‌های نفوذی دیوریتی- کابرویی نیز در منطقه نفوذ کردۀ‌اند، که سن آنها نامشخص است. سنگ‌جوش، سنگ‌های تبخیری، مارن قرمز و ماسه‌سنگ نوزا جوانترین واحدهای سنگی منطقه کوه سرهنگی هستند که بیشتر در جنوب و غرب ناحیه رخنمون دارند و به سمت شمال در زیر رسوبات کواترنری مدفون می‌شوند (شکل ۱). مهمترین عارضه ساختاری منطقه، گسل اصلی کوه‌سرهنگی با روند N70E است که همه واحدهای سنگی از نهان زیستی تا نوزا را قطع کرده و عملکرد آن باعث بالا آمدگی واحدهای سنگی در جهت شمال غربی شده است [۱۵].

واحدهای سنگی منطقه کانسار ده‌زمان همگی متعلق به پیشین زیستی نو پسین- کامبرین پیشین هستند که تحت تاثیر دگرگونی ناحیه‌ای درجه پایین و دگرشكلي حاصل از فعالیت‌های زیاد زمین‌ساختی قرار گرفته‌اند. مجموعه آتشفسانی- رسوبی دگرگون شده منطقه به ترتیب از پایین به بالا شامل واحدهای زیر است (شکل ۲): (۱) اسلیت و فیلیت‌های سیاه و خاکستری با میان لایه‌های کوارتزیت که در جنوب منطقه گسترش دارند. وجود رگچه‌های فراوان کوارتز شیری با ساخت بودین در جهت شیستوارگی، ویژگی بارز این واحد است که تحت تاثیر دگرگونی ناحیه‌ای شکل گرفته‌اند. (۲) آهک دولومیتی بازتبلور یافته و مرمر. (۳) آهک دولومیتی بازتبلور یافته کرم تا زرد رنگ. (۴) آهک دولومیتی بازتبلور یافته. واحد کربناته دگرگون شده دارای روند شرقی- غربی هستند. حرکات زمین‌ساختی باعث شده است که طبقات رسوبی از حالت افقی خارج شده و به صورت شیبدار به سمت شمال دیده شوند. در برخی مناطق در درزهای اکسید آهن هماتیت، لیمونیت و گوتیت به صورت ثانویه قابل مشاهده است. (۵) واحد سرسیت‌شیست با مرز تیز، همراستا با واحدهای کربناته دگرگون شده در شمال و جنوب لایه سنگ آهک دولومیتی بازتبلور یافته دیده می‌شود. در شمال و همراستا با این واحد، نوار بزرگ کانه‌زایی هماتیت به طول ۲۵۰۰ متر قرار دارد. سرسیت، مسکویت و کوارتز مهمترین کانی‌های تشکیل دهنده واحد سرسیت شیست هستند که در قسمت‌های بالایی و با نزدیک شدن به مرز لایه

کانه‌زایی آهن در کانسار ده‌زمان به دو شکل کانسنسگ هماتیتی و بخش مگنتیتی ± اسپکیولاریتی دیده می‌شود. بهره- برداری از این کانسار معطوف به بخش هماتیتی بوده است؛ بطوری که تعداد زیادی تونل در آن حفر شده و به شکل زیرزمینی در حال برداشت است. به دلیل چگالی بالای کانسنسگ هماتیتی، این بخش از ماده معدنی در بخش حفاری شرکت نفت استفاده می‌شود. خاستگاه و نحوه تشکیل کانه‌زایی هماتیت در ناحیه ده‌زمان بحث برانگیز بوده و در بررسی انجام شده پیشین [۱۶]، با توجه به شواهد صحرایی، به عنوان یک کانسار رسوبی و همزاد با دنباله رسوبی- آتشفسانی معرفی شده است. مطالعه اخیر بر اساس شواهد صحرایی و نیز بررسی ریزپردازندۀ الکترونی، هماتیت را از نوع آهن رسوبی و نوع راپیتان معرفی می‌کند [۱۷]. تاکنون هیچگونه بررسی علمی و دقیق درباره بخش کانی‌سازی مگنتیت ± اسپکیولاریت صورت نگرفته است. لذا هدف از این مقاله تعیین مدل کانی‌سازی مگنتیت ± اسپکیولاریت به کمک بررسی ویژگی‌های کانی- شناختی، ساخت و بافت و دگرسانی در ناحیه ذخیره معدنی است. بررسی دقیق این کانسار می‌تواند عوامل کلیدی توزیع زمانی و مکانی را برای اکتشاف کانه‌زایی‌های مشابه در این بخش از منطقه ایران مرکزی معرفی کند و به عنوان الگوی اکتشافی مورد استفاده قرار گیرد.

زمین‌شناسی

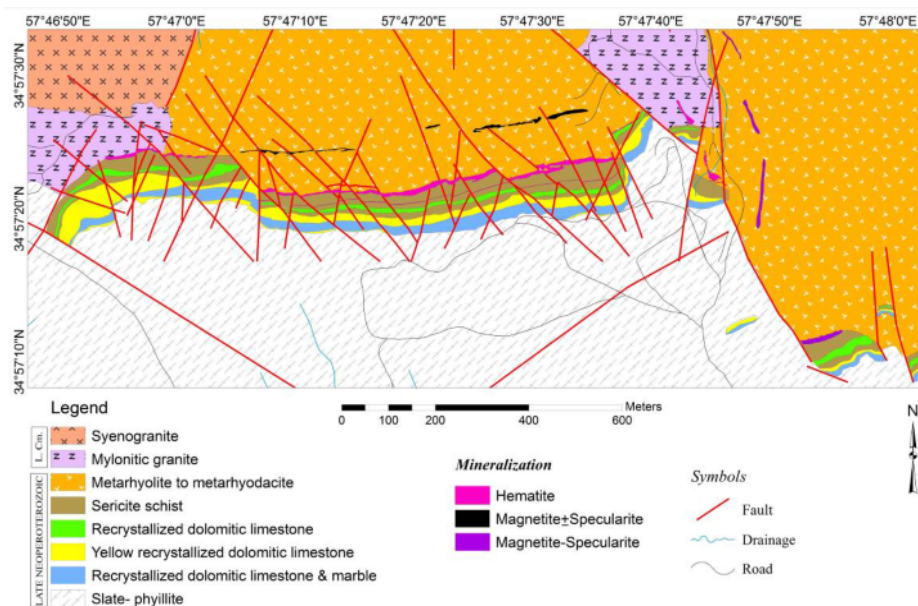
قدیمی‌ترین و گستردۀ‌ترین واحدهای سنگی منطقه کوه سرهنگی، سنگ‌های دگرگونی نهان‌زیستی پسین- کامبرین پیشین است که شامل اسلیت و انواع میکاشیست است. این مجموعه طی تحولات کوه‌زایی کاتانگایی دچار دگرگونی و دگرشكلي شده‌اند [۱۵]. توده‌های گرانیتی در مناطق ده‌زمان، لاخ بر قشی، رباط زنگیچه و یخاب در این سنگ‌های دگرگونی نفوذ نموده‌اند که بر اساس بررسی‌های سن‌سنجدی انجام شده به روش U-Pb روی کانی زیرکن، سن آنها بین ۵۷۵ تا ۵۳۵ میلیون سال پیش مطابق با زمان پیشین زیستی نو- کامبرین است [۱۸]. مجموعه سنگ‌های رسوبی دیرینه‌زیستی تا کرتاسه نیز گسترش قابل توجهی در منطقه دارند. این مجموعه شامل سنگ آهک، دولومیت، شیل و ماسه‌سنگ است. در جنوب غرب ده‌زمان واحدهای سیلورین پسین تا پرمین به شدت دگرشكلي و دچار دگرگونی ناحیه‌ای ضعیف شده‌اند. این واحدها روی شیل و ماسه‌سنگ قرمز ردیف گردو با سن ژوراسیک میانی رانده

پیشین است. بافت آن نیمه خود ریخت دانه‌ای بوده و کانی‌های اصلی آن کوارتز، فلدسپار قلیایی، پلاژیوکلاز، بیوتیت و مسکوکیت هستند که در برخی قسمت‌ها مقدار کانی بیوتیت در آن افزایش می‌یابد. زیرکن و آپاتیت نیز مهمترین کانی‌های فرعی این واحد هستند. کانی‌سازی با این توده دیده نمی‌شود. بر اثر حرکات شدید زمین‌ساختی، گرانیت‌ها در کناره و در محل گسل‌ها دچار دگرگونی شدید دینامیکی شده و باعث تشکیل گرانیت‌های میلیونیتی شده‌اند. این حالت بیشتر در غرب و شمال شرق منطقه دیده می‌شود (شکل ۲). رنگ خاکستری و صورتی کمرنگ با بافت شیستی و سمتگیری شده، اصلی‌ترین مشخصه این واحد است. وجود پدیده‌هایی همچون برگوارگی میلیونیتی در زمینه ریز بلور از کوارتز و فلدسپار، ماهی میکا همسو با جهت برش و گردش‌گی لبه‌های کانی فلدسپار همگی نشانده‌نده تاثیر شدید دگرگونی دینامیکی بر این واحد است [۱۸].

دایک‌های مافیک با ترکیب دیابازی و رنگ صحرایی سیز رنگ، آخرین فاز ماقمایی در منطقه ده‌زمان است که به دلیل کوچکی قابل نمایش در نقشه نبوده‌اند. این دایک‌ها بیشتر با روند شمالی-جنوبی در واحد متاریولیت-متاریوداسیت و گرانیت میلیونیتی در مرکز و شرق ناحیه نفوذ کرده‌اند. طول دایک‌ها از ۲۰ تا ۱۵۰ متر متغیر بوده و دارای عرض بیشینه ۴۰ سانتی‌متر هستند.

کانی‌سازی، ذرات هماتیت افزایش می‌یابد [۱۷]. ۶ واحد آتشفسانی متاریولیت-متاریوداسیت بیشتر در بخش مرکزی و شرقی ناحیه قابل مشاهده است (شکل ۲). این واحد در نقشه زمین‌شناسی قاسم‌آباد به عنوان ارتوگنیس با سن پیشین زیستی نو معروفی شده است [۱۹]. اما بررسی‌های این پژوهش نشان داد که این واحد، یک گدازه ریولیتی ترا ریوداسیتی است که تحت تاثیر دگرگونی ناحیه‌ای و دینامیکی قرار گرفته است. این واحد میزبان اصلی کانه‌زایی مگنتیت \pm اسپیکیولاریت است. بافت غالب در این سنگ‌ها پورفیری با زمینه بسیار ریزدانه است و درشت بلورهای فلدسپار قلیایی، پلاژیوکلاز و کوارتز در یک زمینه از فلدسپار و کوارتز همراه با کانی‌های ثانویه دیده هستند. زیرکن و مگنتیت مهمترین کانی‌های فرعی آن می‌باشند. هاله دگرسانی کلریتی شدید و کربناتی در اطراف کانی-سازی مگنتیت در این واحد آتشفسانی دگرگون شده دیده می‌شود. درشت بلورهای کوارتز، بیشتر در اثر اعمال نیروهای فشارشی حاصل از دگرگونی ناحیه‌ای و حرکات زمین‌ساختی به صورت بلورهای خرد شده با کناره‌های دندانه‌دار و سایه فشاری دیده می‌شود و درشت بلورهای فلدسپار قلیایی ساختار سیگما را نشان می‌دهند. سرسیت نیز از کانی‌های ثانویه مهم در این واحد است که سمتگیری از خود نشان می‌دهد.

واحد سینوگرانیت با رنگ روشن در شمال غرب ناحیه قرار گرفته و دارای مرزهای گسله با واحد متاریولیت-متاریوداست است. براساس بررسی‌ها [۱۸] سن این توده نفوذی کامبرین



شکل ۲ نقشه زمین‌شناسی-کانی‌سازی آهن ده‌زمان (سن واحدها براساس نتایج مراجع [۱۹، ۱۸] است).

ملاکیت مهمترین کانی‌های ثانویه هستند.

کانی‌شناسی

براساس بررسی‌های میکروسکوپیکی و ریز پردازندۀ پرتو ایکس، کانی‌شناسی و ترکیب شیمیایی کانی‌های مهم معدن آهن ده- زمان شناسایی شد. مگنتیت و اسپکیولاریت مهمترین کانی‌های منطقه دهمان هستند که دارای ادخال‌هایی از آپاتیت هستند. کانی سولفیدی کالکوپیریت به مقدار بسیار جزئی دیده شد. هماتیت و به صورت محدود ملاکیت کانی‌های ثانویه همراه مگنتیت هستند. باطله‌های اصلی منطقه شامل کلریت، کلسیت و کوارتز و باطله‌های فرعی بیوتیت و تورمالین هستند.

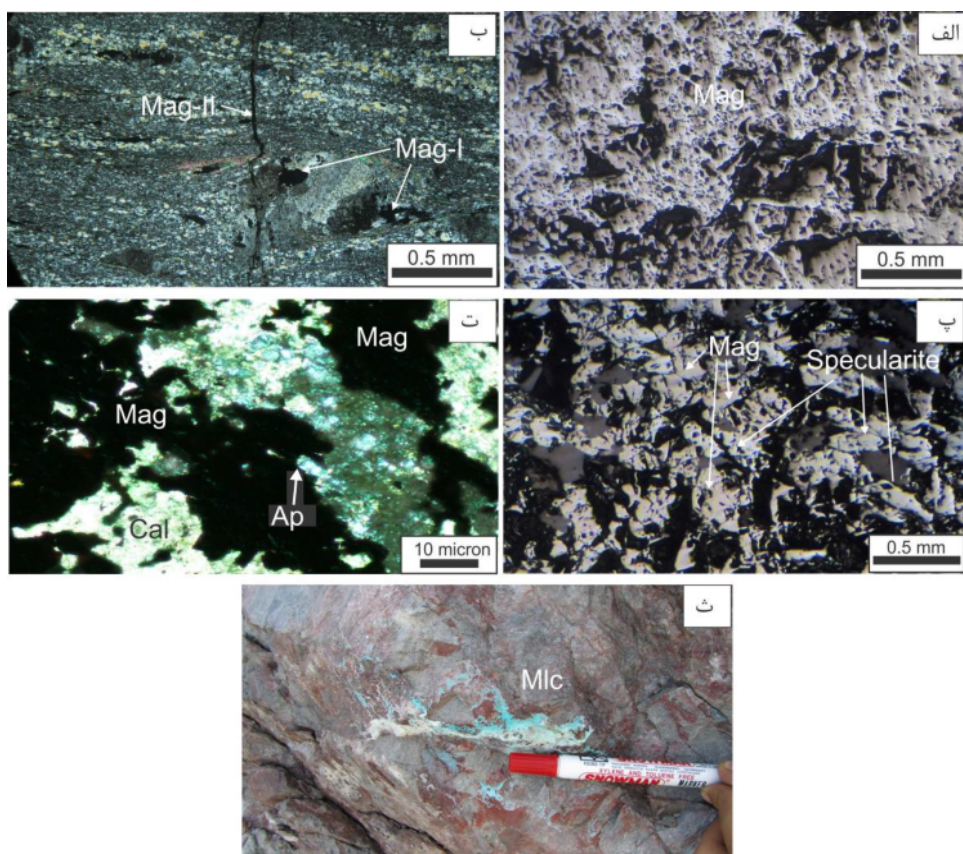
مگنتیت: مگنتیت مهمترین کانه این بخش از کانه‌زایی کانسار دهمان به شمار می‌رود که در قالب ساخت و بافت‌های رگه- رگچه‌ای، توده‌ای، افسان و برشی مشاهده می‌شود. مگنتیت‌ها بیشتر بی‌شکل هستند و در برخی موارد به صورت شکل‌دار در اندازه‌های $0.1 \text{ میلیمتر} \pm 11 \text{ میلیمتر}$ نیز دیده می‌شوند. این کانی به صورت بخشی و در راستای مرز بلورها و شکستگی‌ها و یا گاهی به طور کامل به هماتیت (مارتیت) تبدیل شده است (شکل ۳ الف). کانه‌زایی مگنتیت در دو مرحله اتفاق افتاده است: ۱) بیشترین کانه‌زایی پیش از رخدادهای دگرگونی ناحیه‌ای و دگرشکلی رخ داده است. مگنتیت‌های افسان و رگچه‌ای در سنگ میزبان آتش‌شانی دگرگون شده، آثاری همچون دگرشکلی، بودین شدگی، سایه واتنشی و دور زدن برگوارگی را از خود نشان می‌دهند (شکل ۳ ب) که حاکی از وجود مگنتیت قبل از فرایند دگرگونی ناحیه‌ای و دگرشکلی است [۲۰، ۲۱]. ۲) رگچه‌های مگنتیت که پس از فرایندهای دگرگونی ناحیه‌ای و دگرشکلی منطقه تشکیل شده و برگ- وارگی میلیونیتی واحد میزبان را قطع کرده است (شکل ۳ ب). دگرگونی ناحیه‌ای در حد رخساره شیست‌سیز و دگرگونی دینامیکی باعث تمرکز مگنتیت در راستای شکستگی‌های ایجاد شده در منطقه شده و رگچه‌های مرحله دوم را تشکیل داده است. براساس بررسی ریزپردازندۀ پرتو ایکس، مقدار V کمتر از 11 درصد ، مقدار P کمتر از 20% درصد و مقدار Ti کمتر از 6% درصد است که از این نظر این کانه جزء مگنتیت‌های کم تیتان و کم فسفر محسوب می‌شود (جدول ۱).

روش بررسی

بررسی‌های انجام شده شامل مطالعات صحرایی- آزمایشگاهی به منظور تهیه نقشه زمین‌شناسی- کانی‌سازی با مقیاس $1:1000$ ، بررسی بیش از 80 مقطع نازک جهت بررسی سنگ- نگاری و دگرسانی و 30 مقطع نازک صیقلی و قطعه صیقلی جهت بررسی‌های کانه‌نگاری و تعیین روابط پاراژنزی از بخش مگنتیتی- اسپکیولاریتی کانسار، بررسی ریزپردازش پرتو ایکس (XPMA) روی 8 نمونه مگنتیت و اسپکیولاریت در 26 نقطه در شرکت کانسaran بینالود تهران است. دستگاه ریز پردازندۀ پرتو ایکس مورد استفاده Horiba مدل XGT-7200 ساخت کشور ژاپن است. پردازش در شرایط 20 میلی آمپر با ولتاژ 15 تا 20 کیلوولت انجام گرفته است.

کانی‌سازی

کانی‌سازی مگنتیت \pm اسپکیولاریت در کانسار دهمان به شکل رگه و رگچه در منطقه‌های گسلی و سطوح درز و شکستگی واحد متاریولیت- متاریوداسیت اواخر پیشین زیستی نو تشکیل شده است و فعالیت‌های زمین‌ساختی شدید منطقه موجب شده است تا جابه‌جای‌های متعددی در آن صورت گیرد. روند کلی رگه‌های مگنتیت \pm اسپکیولاریت در قسمت مرکزی منطقه به صورت شرقی- غربی با شبیه 85 درجه به سمت شمال و در قسمت شرقی دارای روند شمالی- جنوبی و با شبیه 75 درجه به سمت غرب است. طول بیشینه رگه‌های کانی‌سازی در قسمت مرکزی 300 متر با عرض 2 تا 7 متر است که در قسمت‌های میانی به صورت منقطع بوده و در قسمت شرقی دارای طول بیشینه 100 متر و عرض حدود 3 تا 5 متر است (شکل ۲). مقدار اسپکیولاریت در رگه‌های شرقی منطقه بیشتر است. آثار دگرشکلی به صورت بودین شدگی و تغییر ضخامت در رگه‌های کانه‌دار دیده می‌شود. کانی‌سازی رگه- رگچه‌ای و افسان در اطراف رگه‌های اصلی مگنتیت \pm اسپکیولاریت دیده می‌شود و با دور شدن از آن، درصد کانی فلزی کاهش می‌یابد. ضخامت بیشتر رگچه‌ها از چند میلیمتر تا حدود 10 سانتیمتر متغیر است. کانی‌شناسی کانسار بسیار ساده بوده و شامل مگنتیت و اسپکیولاریت با ریزبلورهای آپاتیت و به مقدار ناچیز کالکوپیریت است که با باطله‌های کلریت، کربنات، کوارتز، بیوتیت \pm تورمالین همراه است. هماتیت و به مقدار کمتر



شکل ۳ تصاویری از کانی‌سازی در بخش مگنتیتی ± اسپکیولاریتی کانسار دزمان. الف) مگنتیت مارتیتی شده در نور بازتابی و PPL، ب) مگنتیت‌های مرحله نخست که دور زدن برگوارگی را نشان می‌دهد و رگچه مگنتیت مرحله دوم که برگوارگی میلونیتی واحد آتشفشاری دگرگون شده میزان را قطع کرده است در نور عبوری و XPL، پ) بلورهای مگنتیت با تهرنگ قهقهه‌ای و بلورهای اسپکیولاریت با رنگ سفید و شکل تیغه‌ای در کنار هم در نور بازتابی و PPL، ت) بلور آپاتیت در کنار مگنتیت در نور XPL، ث) آثار مالاکیت در سنگ میزان (Mag = مگنتیت، Ap = آپاتیت، Cal = کلسیت، Mlc = مالاکیت). [۲۲].

جدول ۱ نتایج تجزیه ریز پردازندۀ پرتو ایکس برخی عناصر مهم در کانی مگنتیت (بر حسب درصد).

شماره نمونه	P ₂ O ₅	TiO ₂	V ₂ O ₅	MnO ₂	Fe ₂ O ₃
H38.1-4	<0.1	<0.1	0.06	0.04	96.85
H39-1	<0.1	<0.1	0.13	0.26	97.51
H39-2	<0.1	0.06	0.1	0.04	98.82
H39-3	<0.1	<0.1	0.14	0.07	98.12
H39-4	<0.1	0.06	0.14	0.09	98.96
H42-2	<0.1	0.39	0.19	<0.1	97.98
H42-3	<0.1	<0.1	0.16	<0.1	97.70
H42-4	<0.1	0.26	0.06	<0.1	98.44
H42-5	<0.1	<0.1	0.16	<0.1	98.4
H43-1	<0.1	<0.1	<0.01	<0.1	99.36
H43-2	<0.1	0.04	<0.01	<0.1	99.56
H43-3	<0.1	<0.1	<0.1	<0.1	98.7
H43-4	<0.1	<0.1	<0.1	0.33	99.67
H43-5	<0.1	<0.1	<0.1	<0.1	99.31
H2-1	0.16	<0.1	<0.01	<0.1	97.05
H2-3	0.21	<0.1	<0.01	<0.1	96.59
H14.1-1	<0.1	<0.01	0.12	<0.1	97.28
H14.1-2	<0.1	0.21	0.07	<0.1	97.28
H14.1-3	<0.1	<0.1	0.09	<0.1	98.59
H14.1-5	<0.1	0.07	0.01	<0.1	97.17

بخش عمدۀ این کانی به مالاکیت تبدیل شده است. در مجموع شواهد سطحی حاکی از مقدار کم مس در سیال کانه‌دار است. **کلریت:** این کانی فراوان‌ترین باطله همراه با مگنتیت \pm اسپکیولاریت محسوب می‌شود که در قالب ساخت و بافت‌های توده‌ای، رگچه‌ای، افسان و برشی دیده می‌شود. کلریت توده‌ای در نزدیکی رگه‌های مگنتیت \pm اسپکیولاریت تا حدود ۳۰ درصد حجم سنگ وجود دارد. رگچه‌های متعدد کلریت‌دار همراه با کانی‌سازی مگنتیت در واحد آتشفشنانی دگرگون شده می‌زبانند. نیز دیده می‌شود. کلریت به شکل پراکنده و در تجمع با دانه‌های مگنتیت، اسپکیولاریت و کوارتز در متن سنگ نیز وجود دارد.

کلسیت: کلسیت بعد از کلریت دومین باطله مهم همراه با مگنتیت \pm اسپکیولاریت محسوب می‌شود. دو نوع کلسیت در منطقه دیده می‌شود: ۱) کلسیت‌های مرحله اول که به صورت جانشینی در فلدسپارهای سنگ آتشفشنانی، در بخش مگنتیت توده‌ای در رگه‌ها و یا رگچه‌های کلسیت همراه با مگنتیت و اسپکیولاریت مشاهده می‌شوند و ۲) کلسیت‌های رگچه‌ای مرحله دوم که فاقد کانی‌سازی بوده و رگچه‌های مرحله اول را قطع می‌کنند.

کوارتز: این کانی به دو شکل قابل مشاهده است: ۱- کوارتز‌های درشت بلور تا اندازه ۰,۵ میلیمتر همراه با رگه‌های اصلی مگنتیت \pm اسپکیولاریت، ۲- رگچه‌های کوارتز- کلریت- مگنتیت \pm بیوتیت \pm تورمالین و کلسیت- کوارتز- اسپکیولاریت در واحد آتشفشنانی دگرگون شده.

اسپکیولاریت: این کانی دومین کانی فلزی مهم این بخش از کانه‌زایی کانسار ده‌زمان به شمار می‌رود که در قالب ساخت و بافت‌های رگه- رگچه‌ای، توده‌ای، افسان و برشی مشاهده می‌شود. اسپکیولاریت‌ها به شکل‌های تیغه‌ای و صفحه‌ای تا اندازه یک سانتی‌متر دیده می‌شوند و آثار دگرگونی ناحیه‌ای و دگرشكلي همانند مگنتیت به شکل توده‌ای در رگه‌های اصلی کانی‌سازی در شرق منطقه دیده می‌شود (شکل ۳ پ). براساس بررسی ریزپردازنه پرتو ایکس، مقدار ۷ کمتر ۰,۰۸ درصد، مقدار P کمتر از ۰,۳ درصد و مقدار Ti کمتر از ۰,۲۶ درصد است که از این نظر این کانی جزء اسپکیولاریت-

های کم تیتان و کم فسفر محسوب می‌شود (جدول ۲). **آپاتیت:** این کانی بسیار ریزدانه (در حد چند میکرون تا بیشینه اندازه ۰,۰۵ میلیمتر) است. مطالعات آزمایشگاهی و بررسی ریزپردازنه پرتو ایکس مگنتیت و اسپکیولاریت نشان داد که ریزبلورهای آپاتیت به صورت آزاد یا به شکل ادخال در آنها وجود دارد (شکل ۳ ت و جدول ۳). این موضوع در تجزیه‌های زمین‌شیمی کانسنگ و نیز کانی‌های مگنتیت و اسپکیولاریت با بالا بودن مقادیر فسفر، کلسیم و عناصر خاکی نادر (که خارج از بحث این مقاله است) کاملاً تایید شده است. این کانی شکل دار بوده و فراوانی آن در کل کانسنگ کمتر از ۱۰ درصد برآورد می‌شود. مقدار آپاتیت با مقدار اسپکیولاریت در کانسنگ همبستگی مثبت دارد و لذا در رگه‌های بخش شرقی منطقه مقدار آن بیشتر است.

کالکوپیریت: مقدار این کانی بسیار ناچیز است، بطوری که در برخی نقاط ذرات ریز کالکوپیریت در نمونه دستی دیده شد.

جدول ۲ نتایج تجزیه ریز پردازنه پرتو ایکس برخی عناصر مهم در کانی اسپکیولاریت (بر حسب درصد).

شماره نمونه	P ₂ O ₅	V ₂ O ₅	TiO ₂	MnO ₂	Fe ₂ O ₃
H45	<۰,۰۱	۰,۱	۰,۰۷	<۰,۰۱	۹۶,۵۷
A9-1	<۰,۰۱	۰,۱۴	۰,۰۵	<۰,۰۱	۹۹,۲
A9-2	۰,۷۲	<۰,۰۱	۰,۴۴	<۰,۰۱	۹۸,۷۵
A9-3	<۰,۰۱	<۰,۰۱	<۰,۰۱	<۰,۰۱	۹۹,۹۵
A9-4	<۰,۰۱	۰,۰۶	۰,۱۱	۰,۰۶	۹۹,۶۷

جدول ۳ نمونه‌ای از نتایج تجزیه ریز پردازنه پرتو ایکس کانی آپاتیت در درون اسپکیولاریت (بر حسب درصد)

شماره نمونه	P ₂ O ₅	CaO	Fe ₂ O ₃	MnO ₂
H45-5	۳۹,۴۰	۵۹,۱	۰,۱۶	۰,۳۵

سنگ میزبان تشکیل شده و مهمترین مرحله کانی‌سازی است و با تشکیل بخش‌های اصلی مگنتیت و اسپیکیولاریت همراه با آپاتیت، مقدار جزیی کالکوپیریت همراه با کلریت، کوارتز، کلسیت، بیوتیت و تورمالین مشخص می‌شود، ۲) تشکیل رگچه‌های مگنتیت و کلسیت تاخیری پس از دگرگونی ناحیه‌ای و دگرشکلی که کانی‌سازی مرحله اول را قطع می‌کنند و ۳) هوازدگی کانسار که منجر به تشکیل هماتیت و مالاکیت شده است (شکل ۴).

ساخت و بافت

(الف) ساخت و بافت رگه- رگچه‌ای: این نوع ساخت و بافت فراوان‌ترین شکل کانی‌سازی محسوب می‌شود. رگه- رگچه‌ها در سطوح گسلی و درز و شکستگی‌های سنگ میزبان تشکیل شده‌اند و کنترل ساختاری کاملی دارند. رگه- رگچه‌ها را می‌توان براساس ترکیب کانی‌شناسی می‌توان به انواع مگنتیت، مگنتیت- اسپیکیولاریت، کلریت- مگنتیت، کوارتز- کلریت- مگنتیت ± بیوتیت ± تورمالین، کلریت- بیوتیت- مگنتیت ± تورمالین، کلسیت- مگنتیت، کلسیت- کوارتز- اسپیکیولاریت، کلریت- کلسیت- مگنتیت و کلریت- کلسیت تقسیم کرد. از این میان رگچه‌های مگنتیت و مگنتیت- کلریت از همه فراوان‌ترند (شکل ۵ الف).

بیوتیت: پولک‌های بی‌شکل بیوتیت ثانویه در قالب رگچه‌های کوارتز- کلریت- مگنتیت ± بیوتیت ± تورمالین و کلریت- بیوتیت- مگنتیت ± تورمالین و کمتر پراکنده در متن سنگ کمتر از حدود ۵ درصد در واحد میزبان و در کناره رگچه‌های اصلی کانی‌سازی مگنتیت ± اسپیکیولاریت دیده می‌شود.

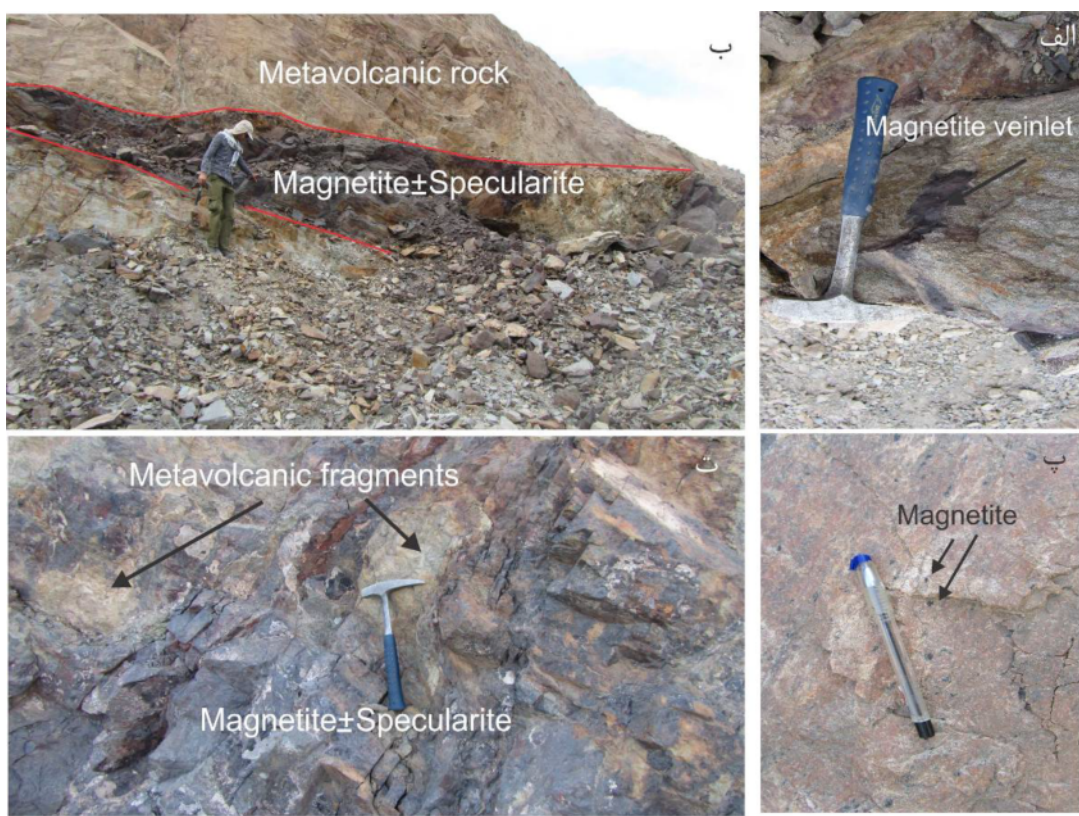
تورمالین: این کانی گاهی در رگچه‌های بیوتیت‌دار دیده می‌شود و سهم آن در رگچه‌ها کمتر از ۱۰ درصد حجم رگچه است. براساس مشخصه میکروسکوپیکی به نظر می‌رسد که این کانی از نوع شورل باشد.

هماتیت و مالاکیت: هماتیت مهمترین کانی ثانویه در منطقه کانی‌سازی مگنتیت ± اسپیکیولاریت است که بیشتر حاصل تبدیل مگنتیت‌ها (شکل ۳ الف) و به ندرت اسپیکیولاریت است. درصد تمرکز هماتیت در برخی نقاط تا حدود ۱۵ تا ۲۰ درصد می‌رسد. مالاکیت حاصل از تبدیل کالکوپیریت به صورت رگچه‌های با عرض ۱ تا ۳ میلیمتر در نزدیکی منطقه‌های کانی‌سازی قابل مشاهده است. در سه بخش از ناحیه همراه با رگچه‌های مگنتیت ± اسپیکیولاریت، آثار مالاکیت نیز دیده می‌شود (شکل ۳ ث).

دنباله کنارزایی این بخش کانسار آهن ده‌زمان را می‌توان در سه مرحله نشان داد: ۱) مرحله اول که قبل از دگرگونی ناحیه‌ای و دگرشکلی در منطقه‌های گسلی و درز و شکستگی‌های

Minerals	Stage I	Stage II	Oxidized zone
Magnetite	→		
Specularite	→		
Apatite	- - - - -		
Chalcopyrite		
Chlorite	→		
Quartz	→		
Calcite	→		
Biotite	- - - - -		
Tourmaline		
Malachite			---
Hematite		→	

شکل ۴ دنباله کنارزایی کانی‌های فلزی و غیرفلزی بخش مگنتیتی ± اسپیکیولاریتی کانسار آهن ده‌زمان.



شکل ۵ تصاویری از ساخت و بافت‌های مختلف در بخش مگنتیتی \pm اسپکیولاریتی کانسار ده‌زمان. (الف) رگچه مگنتیت در واحد آتشفشاری دگرگون شده، (ب) ساخت و بافت توده‌ای مگنتیت \pm اسپکیولاریت در رگه‌های کانی‌سازی، (پ) کانی‌سازی افسان مگنتیت در سنگ آتشفشاری دگرگون شده، (ت) نمایی از منطقه‌های برشی شده شامل قطعات دگرسان سنگ آتشفشاری در سیمانی از مگنتیت، اسپکیولاریت، کلریت و کلسیت.

زمان در مقیاس میکروسکوپیکی و ماکروسکوپیکی در نقاط مختلف منطقه کانی‌سازی دیده می‌شود. در این نوع کانی‌سازی قطعاتی از سنگ متاریولیت- متاریوداسیت دگرسان شده به شکل زاویه‌دار در سیمانی از مگنتیت یا مگنتیت- اسپکیولاریت و کمتر کلریت و کلسیت به شکل متراکم قرار گرفته‌اند (شکل ۵). اندازه قطعات از چند سانتی‌متر تا حدود یک متر متغیر است و بیشتر توسط دگرسانی‌های کلریتی و سیلیسی تحت تاثیر قرار گرفته‌اند. این برش‌ها از نوع گسلی هستند، بطوریکه بر اثر فعالیت‌های زمین‌ساختی همزمان با کانی‌سازی، سنگ آتشفشاری برشی شده و بعد محلول حمل‌کننده آهن فضای خالی بین قطعات را پر کرده است.

دگرسانی

دگرسانی در محدوده کانی‌سازی مگنتیت \pm اسپکیولاریت کانسار ده‌زمان بیشتر محدود به بخش‌های کانه‌دار است و به انواع کلریتی‌شدن، کربناتی‌شدن، سیلیسی‌شدن، پتاسی و تورمالینی‌شدن قابل تقسیم است. کلریتی‌شدن مهمترین دگرسانی همراه با کانه‌زایی مگنتیت \pm اسپکیولاریت در منطقه

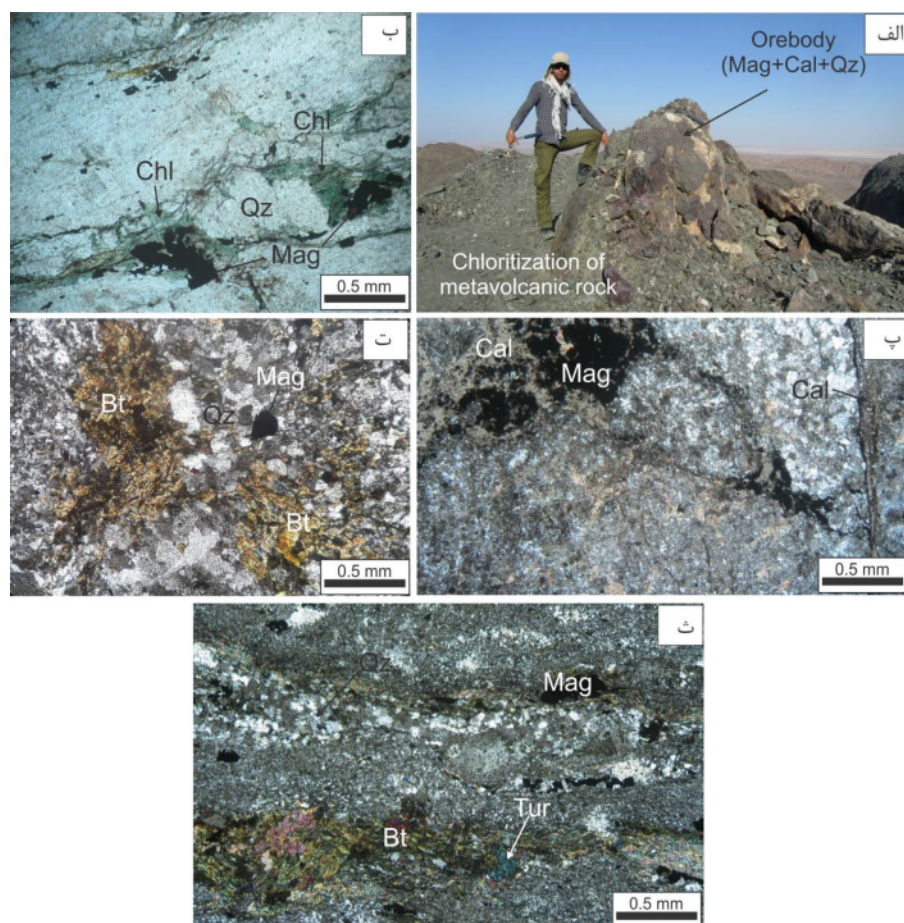
ب) ساخت و بافت توده‌ای: این نوع ساخت و بافت در رگه‌های کانی‌سازی دیده می‌شود (شکل ۵ ب). کانی‌شناسی اصلی این بخش‌ها مگنتیت یا مگنتیت- اسپکیولاریت است که مگنتیت‌ها بیشتر به صورت بی‌شکل و اسپکیولاریت‌ها به شکل تیغه‌ای و صفحه‌ای دیده می‌شوند. کلریت به رنگ سبز پر رنگ است و کلسیت و کمتر کوارتز مهمترین باطله‌های آن هستند.

پ) کانی‌سازی افسان: این بافت بیشتر در اطراف رگه‌ها و در واحد آتشفشاری مشاهده می‌شود به طوری که در صد پراکندگی مگنتیت یا اسپکیولاریت در این نقاط به ۲۰ تا ۲۵ درصد حجم سنگ می‌رسد و با فاصله گرفتن از آن مقدار آنها کاهش می‌باید (شکل ۵ پ). دانه‌های مگنتیت به صورت شکل‌دار و بی‌شکل و بلورهای اسپکیولاریت به صورت شکل‌دار دیده می‌شوند. اندازه ذرات مگنتیت و اسپکیولاریت از ۰/۱ میلی‌متر تا ۱۱ میلی‌متر متغیر است و با کلریت، بیوتیت، کلسیت و کوارتز همراهند. آثار دگرگونی ناحیه‌ای و حرکات زمین‌ساختی به شکل کشیدگی و قرار گرفتن در راستای برگ‌کوارگی در آنها دیده می‌شود.

ت) ساخت و بافت برشی: ساخت و بافت برشی در منطقه ده

سنگ و رگچه‌های کلسیت- مگنتیت، کلسیت-کوارتز- اسپکیولاریت و کلریت- کلسیت- مگنتیت وجود دارد. همچنین رگچه‌های تأخیری از کلسیت، رگچه‌های کانی‌سازی اولیه کانی‌سازی را قطع می‌کنند (شکل ۶ پ). کوارتز ثانویه به مقدار کمتر از ۱۰ درصد همراه با کانی‌سازی مگنتیت \pm اسپکیولاریت رگه‌ای وجود دارد. علاوه بر آن رگچه‌هایی از کوارتز وجود دارد با مگنتیت، اسپکیولاریت، کلسیت، کلریت، بیوتیت و تورمالین در سنگ آتشفشاری همراه و در اطراف رگه‌ها دیده می‌شود (شکل ۶ ب تا ث). پولکهای بیوتیت ثانویه بیشتر به شکل رگچه‌ای و کمتر پراکنده همراه با مگنتیت، کلریت، کوارتز و تورمالین کمتر از ۵ درصد در واحد متاریولیت- متاریوداسیت دیده می‌شود (شکل ۶ ت و ث). مقدار تورمالین کمتر از ۳ درصد است و در برخی رگچه‌های مگنتیت و بیوتیت‌دار وجود دارد (شکل ۶ ث).

است. مقدار کلریت در اطراف رگه‌های اصلی کانی‌سازی به حدود ۳۰ درصد حجمی سنگ می‌رسد، اما با دور شدن از محل کانی‌سازی به کمتر از ۵ درصد کاهش می‌یابد. رنگ سبز تیره این کانی در اطراف رنگ سیاه مگنتیت- اسپکیولاریت یکی از مشخصه‌های شاخص این بخش از کانسار دهستان است (شکل ۶ الف). علاوه بر کلریت‌های توده‌ای در اطراف رگه‌های مگنتیت \pm اسپکیولاریت، رگچه‌های کلریت- مگنتیت- کوارتز- کلریت- مگنتیت \pm بیوتیت \pm تورمالین، کلریت- بیوتیت- مگنتیت \pm تورمالین، کلریت- کلسیت و کلریت- کلسیت- مگنتیت در واحد متاریولیت- متاریوداسیت نیز دیده می‌شود (شکل ۶ ب). کلسیت یکی دیگر از کانی‌های باطله مهم منطقه است که همراه با کلریت در اطراف رگه‌های مگنتیت \pm اسپکیولاریت دیده می‌شود. در واحد آتشفشاری دگرگون شده نیز کلسیت به شکل جانشینی در پلاژیوکلاز، پراکنده در متن



شکل ۶ تصاویری از دگرسانی در بخش مگنتیتی \pm اسپکیولاریتی کانسار دهستان. الف) رنگ سبز کلریتی شدید در کنار توده کانی‌سازی در صحراء، ب) رگچه کوارتز- کلریت- مگنتیت در نور PPL، پ) رگچه کلسیت- مگنتیت و رگچه تاخیری کلسیت که رگچه‌های دیگر را قطع می‌کند در نور XPL، ت) تجمع بیوتیت ثانویه، کوارتز ثانویه و مگنتیت افسان در نور XPL، ث) رگچه کوارتز- مگنتیت در بالا و کلریت- بیوتیت- مگنتیت- تورمالین در پایین در نور XPL (Mag=مگنتیت، Cal=کلسیت، Qz=کوارتز، Bt=بیوتیت، Chl=چلریت، Tur=تورمالین [۲۲]).

تایید قرار گرفته است [۴، ۳۶]. ذخایر نوع کایرونا نیز وابسته به ماقماتیسم آهکی-قلیایی بوده و بسته به محیط تشکیل در گدازه‌های آندزیتی تا تراکیتی و توده‌های نفوذی نیمه عمیق با ترکیب سینیت پورفیری، مونزونیت و دیوریت تشکیل می‌شوند [۳۷، ۳۰]. سنگ‌های تراکیتی قلیایی میزبان کانسار کایرونا در مناطق کششی هستند [۳۲]. سنگ میزبان این بخش از کانی-سازی کانسار دهzman از واحدهای آتشفسانی ریولیتی-ریوداسیتی دگرگون شده پیشین زیستی نو است و سنگ خاستگاه کانی‌سازی در عمق است. توده معدنی در خایر کایرونا به شکل عدسی هم شبی تا ناهم شبی، رگه‌های دایکی شکل، داربستی و توده‌های صفحه‌ای دیده می‌شود [۳۸]. در کانسار دهzman نیز ساخت و بافت رگه- رگچه‌ای، برشی، توده‌ای و افشار دیده می‌شود. کانی‌شناسی عمدۀ کانسارهای کایرونا مگنتیت، اسپکیولاریت و آپاتیت و نیز اکتینولیت است، در حالیکه در دهzman بیشتر مگنتیت و اسپکیولاریت دیده می‌شود و حضور آپاتیت به شکل بسیار ریز دانه و یا ادخال در درون این کانی‌ها به اثبات رسیده است. همچنین اکتینولیت دیده نشد و فراوانترین باطله همراه با کانی‌سازی کلریت است. مقدار تیتان به اضافه وانادیوم در مگنتیت‌های ذخایر نوع کایرونا بین ۰/۱۵ تا ۱ درصد است [۳۹]. این مقدار در مگنتیتها و اسپکیولاریت‌های کانسار دهzman کمتر از ۰/۷ درصد است. فسفر نیز کمتر از ۰/۳ درصد است که از این لحاظ نیز همخوانی خوبی با کانسارهای کایرونا دارد. دگرسانی در کانسارهای نوع کایرونا از عمق به طرف سطح شامل دگرسانی سدیمی، پتاسی، سرسیتی و سیلیسی تاخیری است [۲۷]. در کانسار دهzman دگرسانی کلریتی‌شدن، کربناتی‌شدن، سیلیسی‌شدن و پتاسی شاخص تر است.

تعیین مدل کانی‌سازی

کانسارهای اکسید آهن- آپاتیت با Ti و P پایین که بیشتر با ماقمات‌های آهکی-قلیایی تا قلیایی همراهند به ذخایر نوع Iron Oxide- (IOA) معروفند که با علامت اختصاری IOA (Apatite) معرفی می‌شوند [۲۳]. منطقه کاشمر- کرمان میزبان کانسارهای آهن نوع کایرونا بزرگی همچون چغارت، چادرملو، میشدوان، سه چاهون و اسفوردی است [۱۳-۴]. آثار این نوع کانی‌سازی حتی در شرق معدن دهzman در کانسار آهن دلکن نیز گزارش شده است [۲۴].

در مورد خاستگاه ذخایر کایرونا تاکنون نظرات مختلفی از جمله ماقمایی [۲۵]، گرمابی آتشفسانی زاد [۲۶]، دگرنهادی [۲۷]، گرمابی [۶، ۹]، تبخیری [۲۸] و مدل سیال ماقمایی و غیرماقمایی [۲۹] مطرح شده است. بنا به نظر [۳۰] فرآیندهای تشکیل این کانسارها بر اساس فعالیت‌های گرمابی و جدایش ماقمایی است که سیالات جوی نیز در مراحل پایانی وارد سیستم کانی‌سازی می‌شوند. کانی‌سازی در این نوع از کانسارها در سنگ میزبان آتشفسانی و نفوذی روی می‌دهد و بیشتر فلزات خاستگاه ماقمایی دارند.

جدول ۴ ویژگی‌های ذخایر کایرونا را با بخش مگنتیت ± اسپکیولاریت کانسار دهzman مقایسه می‌کند [۳۳-۳۱]. به عقیده [۳۴] ذخایر کایرونا در محیط‌های زمین‌ساختی ریفت درون قاره‌ای و منطقه‌های فرورانش کرانه قاره تشکیل می‌شوند. کانسار دهzman در گوشه شمال شرقی کمربند کاشمر- کرمان قرار گرفته است. رژیم زمین‌ساختی این منطقه کافت با سن اواخر دوره نهان زیستی معرفی شده است [۳۵] که با توجه به حضور ماقماتیسم‌های خاص قلیایی و پرآلکالن، مجموعه‌های آتشفسانی- رسوبی و نوع کانسارهای ویژه این منطقه مورد

جدول ۴ مقایسه ویژگی‌های بخش مگنتیت ± اسپکیولاریت کانسار دهzman و کانسارهای آهن نوع کایرونا [۲۷ و ۲۱-۳۳]

کانسار دهzman	کانسار نوع کایرونا	ویژگی‌ها
رژیم کششی	کرانه قاره، محیط‌های فرورانش وابسته به کمربند آتشفسانی، رژیم‌های کششی	محیط زمین ساختی
پس از پیشین زیستی نو	پیشین زیستی دیرینه تا پلیوسن و پلیستوسن	سن
سنگ‌های آتشفسانی ریولیتی- ریوداسیتی	سنگ‌های آتشفسانی آهکی-قلیایی تا قلیایی و توده‌های پلوتونی	سنگ میزبان
؟	آهکی-قلیایی تا قلیایی نوع I	ماهیت ماقماتیسم
مگنتیت و اسپکیولاریت با مقدار پایین Ti و V، آپاتیت ریزدانه، مقدار جزیی کالکوپیریت، کلریت، کلسیت، کوارتز، بیوتیت، تورمالین	مگنتیت با مقدار پایین Ti و V ، اسپکیولاریت، آپاتیت، پیریت، کالکوپیریت (جزیی)، اکتینولیت، دیوپسید، کلسیت و کوارتز	کانی‌شناسی
سدیمی، سدیمی- کلسیمی، اکتینولیت، سرسیتی، سیلیسی، پتاسی، تورمالینی شدن	سدیمی، سدیمی- کلسیمی، اکتینولیت، سرسیتی، سیلیسی، پتاسی، تورمالینی شدن	دگرسانی
رگه- رگچه‌ای، توده‌ای، برشی، افسان	رگمای، نواری، توده‌ای، جانشینی	ساخت و بافت
منطقه‌های گسلی، درزه‌ها و شکستگی‌ها	مناطق برشی، شکستگی‌ها	عوامل کنترل کننده

metallogeny", Australian Jurnal of Earth Sciences 62 (2015) 211-241.

[2] Ghorbani M., "The economic geology of Iran, mineral deposits and natural resources", Springer (2013) 569 p.

[3] Ramezani J., Tucker, R., "The saghand region, central Iran: U-Pb geochronology, prtrogenesis and implication for gondwana tectonics", Amrican journal of science 303 (2003) 622-665.

[4] Daliran F., "The magnetite-apatite deposit of Mishdovan, East Central Iran. An alkali rhyolite hosted, 'Kiruna type' occurrence in the Infracambrian Bafq Metallotect (Mineralogic, Petro-graphic and geochemical study of the ores and the host rocks)", Unpublished PhD thesis, University of Karlsruhe, Karlsruhe, Germany (1990) 248 p.

[5] Foster H., Jafarzadeh A., "The Bafq mining district in Central Iran—a highly mineralized Infracambrian volcanic field", Economic Geology 89 (1994) 1697-1721.

[6] Daliran F., "Kiruna type iron oxide-apatite ores and apatites of the Bafq district, Iran, with an emphasis on the REE geochemistry of the their apatites", in Porter, T. M. (eds.), Hydrothermal iron oxide copper gold and related deposits: a global perspective, PGC Publishing, Adelaide 2 (2002) 303-320.

[7] Moore F., Modabberi S., "Origin of choghart iron oxide deposit, Bafq mining district, central Iran: new isotopic and geochemical evidence", Journal of Sciences, Islamic Republic of Iran 14 (2003) 259-269.

[8] Torab F.M., Lehmann B., "Magnetite-apatite deposits of the Bafq district, Central Iran: apatite geochemistry and monazite geochronology", Mineral Magazine 71 (2006) 347-363.

[9] Jami M., Dunlop A. C., Cohen D. R., "Fluid inclusion and stabele isotope study of the Esfordi apatite-magnete deposite, Central Iran", Economic Geology 102 (2007) 1111-1128.

[10] Daliran F., Stosch H. -G., Williams P., "Multistage metasomatism and mineralization at hydrothermal Fe oxide-REE-apatite deposits and apatitites of the Bafq District, Central-East Iran", in Andrew, C.J. et al. (eds), Digging deeper, Proceeding of the 9th Biennial SGA Meeting, Dublin (2007) 1501-1504.

[11] Daliran F., Stosch H. G., Williams P., "A review of the early Cambrian magmatic and metasomatic events and their bearing on the genesis of the Fe oxide-REE-apatite deposits (IOA) of the Bafq District, Iran", In: Williams P. ed.

برداشت

بخش مگنتیت ± اسپکیولاریت کانسار دهستان به لحاظ جایگاه زمین‌ساختی، نوع سنگ میزبان، ساخت و بافت، کنارزایی کانی‌ای، ترکیب کانی‌شناسی و دگرسانی شباهت زیادی با ذخایر نوع اکسید آهن-آپاتیت کایرون (IOA) دارد؛ هرچند تفاوت‌هایی نیز وجود دارد که از آن جمله می‌توان به موارد زیر اشاره کرد: ۱- در کانسراهای کایرون آپاتیت به عنوان یک کانی اصلی حضور دارد ولی در دهستان آپاتیت به صورت بسیار ریزبلور یا به شکل ادخال در درون اسپکیولاریت و مگنتیت وجود دارد و حضور آن توسط بررسی‌های ریزپردازnde پرتو ایکس و تجزیه‌های زمین‌شیمی (تجزیه ICP-Ms) کل کانسنج و نیز مگنتیت و اسپکیولاریت‌های خالص‌سازی شده) به اثبات رسید، ۲- اکتینولیت و دگرسانی سدیمی دیده نشد و در عوض کلریت مهمترین کانی باطله همراه با کانی‌سازی است. البته گفتنی است که وجود رگه و رگجه‌های به نسبت باریکی از کانی‌سازی در سطوح درز و شکستگی سنگ میزبان و عدم مشاهده توده‌های نفوذی با خاستگاه در سطح نشان می‌دهد که در حال حاضر سطوح بالایی کانسرا بررسی شده است و قطعاً حفاری در منطقه می‌تواند جنبه‌های کاملتر از کانی‌سازی و دگرسانی را روشن نماید.

بررسی ویژگی‌های مختلف بخش مگنتیت ± اسپکیولاریت کانسار دهستان و وجود معدن دلکن در شرق آن نشان می‌دهد که ذخایر نوع کایرون که علاوه بر آهن حاوی مقادیر بالایی از عناصر خاکی نادر هستند، فقط مختص مرکز منطقه کاشمر- کرمان در ایران مرکزی نیستند و گویا در سراسر این منطقه ساختاری حضور دارند و اکتشاف هرچه بیشتر آنها باید مدنظر قرار بگیرد.

قدرتمندی

این پژوهه با حمایت مالی دانشگاه فردوسی مشهد در ارتباط با طرح پژوهشی شماره ۳۶۹۷۲/۳ ۱۳۹۳/۱۲/۱۴ مورخ شده است. از مدیرعامل و کارکنان محترم شرکت اپال کانی پارس بویژه جناب آقایان مهندس نقی‌پور و مالکی به علت همکاری- های آنها سپاسگزاریم.

مراجع

- [1] Nabatian Gh., Rastad E., Neubauer M., Honarmand M., Ghaderi M., "Iron and Fe-Mn mineralization in Iran: implication for Tethyan

[۱۹] سهندی م.ر، قاسمی م.ر، اختیارآبادی ای، " نقشه زمین-شناسی ۱:۱۰۰۰۰۰ قاسم آباد، سازمان زمین‌شناسی و اکتشافات معدنی کشور (۱۳۸۹)."

[۲۰] Horst Q., Rosiere C.A., Heinrich S., Brokmeier H.G., Janson E.M., "Microstructures, textures and deformation mechanisms in hematite", Journal of Structural Geology 23(9) (2001) 1429–1440.

[۲۱] Kontny A., Engelmann R., Grimmer J.C., Greiling R.O., Hirt A., "Magnetic fabric development in a highly anisotropic magnetite-bearing ductile shear zone (Seve Nappe Complex, Scandinavian Caledonides)", International Journal of Earth Sciences 101(3) (2012) 671–692.

[۲۲] Whitney D. L., Evans B. W., "Abbreviations for names of rock-forming minerals", American Mineralogist 95 (2010) 185–187.

[۲۳] Williams P., "Classifying IOCG deposits", in Exploring for iron oxide copper-gold deposits: Canada and global analogues, (2008) 11-19.

[۲۴] شعبانی س، کریمپور م.ح، ملکزاده شفارودی ا، "مطالعات کانی‌شناختی و ژئوشیمیایی در کانسار آهن دلکن، استان خراسان‌رضوی، هشتمین همایش زمین‌شناسی اقتصادی ایران، دانشگاه زنجان.

[۲۵] Frietsch R., "On the chemical composition of the ore breccia at Luoassavaara, northern Sweden", Mineralium Deposita 17 (1982) 239-243.

[۲۶] Lundbohm H., Backstrom H., "Geology of the Kirunavaara district", Geologisks Foreningensi Stockholm Forhandlingar 20 (1989) 63-74.

[۲۷] Hitzman M. W., Oreskes N., Einaudi M. T., "Geological characteristics and tectonic setting of Perotrozoic iron oxide (Cu-U-Au-LREE) deposits", Precambrian Research 58 (1992) 241-287.

[۲۸] Barton M. D., Johnson D. A., "An evaporitic source model for igneous-related Fe oxide (Cu-Au-U-REE) mineralization", Geology 24 (1996) 259-262.

[۲۹] Barton M. .., Johnson D. A., "Footprints of Fe oxide (-Cu-Au) system", SEG 2004: Predictive Mineral Discovery under Cover. Center for Global Metallogeny, Spec. Pub. 33, University of Western Australia, (2004) 112-116.

[۳۰] Gandhi S. S., Bell R. T., "Kiruna/Olympic Dam-type iron, copper, uranium, gold, silver", in Geology of Canadian mineral deposit types (eds.) O.R. Eckstrand, W.D. Sinclair, and R.I. Thorpe, Geological Survey of Canada, Geology of Canada, 8 (1996) 513- 522 (also Geological Survey of America, The geology of North America).

Smart science for exploration and mining, Proceedings of the 10th Biennial of the SGA, Townsville, Qld, Australia (2009) 623-625.

[۱۲] Daliran F., Stosch H. G., Williams P., "Lower Cambrian iron oxide-apatite-REE (U) deposits of the Bafq district, east-Central Iran", in Corriveau, L. and Mumtin, H. (eds.) Exploring for iron-oxide copper-gold deposits: Canada and global analogues. Published in partnership by Mineral Deposits Division, Geological Association of Canada and Geological Survey of Canada, Geol. Assoc. Can. short course notes, 20, Québec (2010) 143-155.

[۱۳] Bonyadi Z., Davidson G. J., Mehrabi B., Meffre S., Ghazban, F., "Significance of apatite REE depletion and monazite inclusions in the brecciated Se-Chahun iron oxide-apatite deposit, Bafq district, Iran, insights from paragenesis and geochemistry", Chemical Geology 281 (2011) 253–269.

[۱۴] Nozaem R., Mohajjal M., Rossetti F., Della Seta M., Vignaroli G., Yassaghi A., Salvini S., Eliassi M., "Post-Neogene right-lateral strike-slip tectonics at the north-western edge of the Lut Block (Kuh-e-Sarhangi Fault), Central Iran", Tectonophysics 589 (2013) 220–233.

[۱۵] نوزعیم ر، مجله م.، یساقی ع، نصرآبادی م، "تحلیل ساختاری و تعیین شرایط دگرشكلي پنهان برپا شده در گرانیت ده زمان، شمال باختری بلوک لوت"، مجله بلورشناسی و کانی‌شناسی ایران، شماره ۱۰ (۱۳۹۳) ۱۵-۲۶.

[۱۶] Momenzadeh M., Wauschkuhn A., "The Allahabad iron deposit and iron, lead, and turquoise occurrences in the Zeber-Kuh Sarhangi mountains SW Kashmar (NE Iran)", In: Geodynamic project (geotraverse) in Iran (Ed. Almassi, A.) (1983) 185–204. Geological Survey of Iran, Tehran.

[۱۷] ایمانپور ب، کریمپور م.ح، ملکزاده شفارودی الف، بررسی کانه‌زایی و ژئوشیمی کانسار آهن دهستان، (جنوب غرب بردسكن) و مقایسه آن با کانسارهای آهن نواری، مجله بلورشناسی و کانی‌شناسی ایران (۱۳۹۵) در حال چاپ.

[۱۸] Rossetti F., Nozaem R., Lucci F., Vignaroli G., Gerdes A., Nasrabadi M., Theye T., "Tectonic setting and geochronology of the Cadomian magmatism in Central Iran, Kuh-e- Sarhangi region (NW Lut Block)", Journal of Asian Earth Sciences 102 (2014) 24-44.

- [35] Stocklin J., “*Structural history and tectonics of Iran: A review*”, American Association of Petrology and Geology Bulletin 52 (1968) 1229–1258.
- [۳۶] سامانی ب., ”سازند ساغند، یک واحد ریفتوزیک پرکامبرین فوقانی در ایران مرکزی”， مجله علوم زمین، شماره ۶ (۱۳۷۱) ۴۵-۳۲.
- [37] Hildebrand R. S., “*Kiruna type deposits: their origin and relationship to intermediate subvolcanic plutons in the Great Bear magmatic zone, northwest Canada*”, Economic Geology 81 (1986) 640-659.
- [38] Ray G. E., Lefebure D. V., “*A synopsis of iron oxide ± Cu ± Au ± P ± REE deposits of the Candelaria-Kiruna-Olympic Dan family*”, Geological Fieldwork (2001) 267-272.
- [39] Dupuis C., Beaudoin G., “*Discriminant diagrams for iron oxide trace element fingerprinting of mineral deposit types*”, Mineralium Deposita 46 (2011) 319-335.
- [31] Hitzman M. W., “*Iron oxides Cu-Au Deposits: What, Where, When and Why*”, In porter, T. M. (eds.), Hydrothermal Iron oxide copper-gold and related deposits: A Global perspective, Australian mineral foundation, Adelaide (2001) 9-25.
- [32] Frietsch R., Perdahl J. A., “*Rare earth elements in apatite and magnetite in Kiruna-type iron ores and some other iron ore types*”, Ore Geology Reviews 9 (1995) 489-510.
- [33] Yu J., Chen Y., Mao J., Pirajno F., Duan C., “*Review of geology, alteration, and origin of iron oxide-apatite deposits in the Cretaceous Ningwu basin, lower Yangtze river valley, eastern China: implication for ore genesis and geodynamic setting*”, Ore Geology Reviews 43 (2011) 170-181.
- [34] Williams P.J., Barton M.D., Fontboté L., de Haller A., Mark G., Oliver N.H.S., Marschik R., “*Iron-oxide-copper gold deposits: geology, space-time distribution, and possible modes of origin*”, Society of Economic Geologists”, Economic Geology 100th Anniversary Volume, Denver (2005) 371–405.